УЛК 546.824-31+546.57+544.526.2

# ВЛИЯНИЕ АНИОНА АММИАЧНОГО КОМПЛЕКСА СЕРЕБРА НА АКТИВНОСТЬ СФОРМИРОВАННЫХ $IN\,SITU\,{\rm Ag/TiO_2} ext{-KATAЛИЗАТОРОВ}$

© 2024 г. А. А. Садовников<sup>1,2</sup>, К. Н. Новоселова<sup>3</sup>, В. В. Сульин<sup>4</sup>, Е. Р. Наранов<sup>1,\*</sup>

<sup>1</sup>Институт нефтехимического синтеза имени А.В. Топчиева РАН, Москва, 119991 Россия <sup>2</sup>Институт общей и неорганической химии имени Н.С. Курнакова РАН, Москва, 119991 Россия <sup>3</sup>Национальный исследовательский университет "Высшая школа экономики", Москва, 101000 Россия <sup>4</sup>ООО "Завод Аэролайф", Москва, 119048 Россия E-mail: naranov@ips.ac.ru

> Поступила в редакцию 08 декабря 2023 г. После доработки 23 сентября 2024 г. Принята к публикации 10 декабря 2024 г.

В данной работе изучено влияние исходных комплексов серебра на активность полученных фотокатализаторов  $Ag/TiO_2$  в процессе газофазного фотоокисления ацетона. Физико-химические свойства катализаторов были исследованы методами РФЭС, РФА и РЭМ. Методом РФЭС показано, что серебро находится в металлическом состоянии. Наибольшей активностью в реакции фотокаталитического окисления ацетона обладал катализатор, полученный в присутствии фторид аниона. Увеличение количества серебра в катализаторе с 0.1 до 0.5 ат.% приводит к снижению активности, что обусловлено поглошением света наночастицами серебра на поверхности фотокатализатора.

**Ключевые слова:**  $Ag/TiO_2$ , фоторазложение ацетона, получение катализатора *in situ* 

DOI: 10.31857/S0028242124050077, EDN: MUOIUL

Нанокристаллический диоксид титана и созданные на его основе материалы широко используются в качестве катализаторов для фотокаталитической очистки воды и воздуха, а также являются составляющими фотоэлектрохимических устройств, преобразующих солнечную энергию в ячейках Гретцеля [1, 2]. Эффективность подобных материалов на основе диоксида титана может сильно варьироваться и зависит от их морфологии, а также присутствия на поверхности TiO<sub>2</sub> различных ионов и допантов. Так, модификация поверхности различными анионами может как увеличивать фотокаталитическую активность в случае нитрат анионов [3, 4], так и уменьшать в случае сорбированных на поверхности сульфат анионов [3]. Отдельное внимание заслуживает модификация поверхности диоксида титана галогенид-анионами. Ряд исследователей показали, что фторирование поверхности диоксида титана оказывает положительное влияние на его фотокаталитические свойства [5, 6]. Высокая фотоактивность таких катализаторов связана с множеством факторов: это и образование кристаллов TiO2 в форме усеченного октаэдра с доступными высокоэнергетическими гранями {001} [7, 8], и увеличение удельной поверхности и адсорбционных свойств [9, 10], и, как следствие, изменение механизма окисления [11]. Так, из-за меньшей доступности поверхностно-связанных гидроксилов по причине присутствия на поверхности адсорбированных фторид-ионов, окисление органических частиц происходит преимущественно за счет образования гидроксильных групп -ОН [11, 12]. Модификация поверхности хлорид анионами также способна приводить к увеличению активности как для УФ-катализаторов, так и для катализаторов видимого света [13]. В работе было показано, что допирование диоксида титана бромид-анионами может приводить к сдвигу края полосы поглощения в видимую область и, как следствие, к увеличению активности [14]. Допирование диоксида титана металлами способствует смещению края полосы поглощения в видимую часть спектра. Так, катализаторы состава Ag/TiO<sub>2</sub> демонстрируют фотокаталитическую активность выше чем у исходного TiO<sub>2</sub>, как при УФ-воздействии [15], так и при воздействии видимого света [16]. Также катализаторы можно получать как золь—гель-методом с помощью восстановителей [17] или УФ- облучением [18], так и газофазным напылением серебра на поверхность диоксида титана [19].

В свою очередь ацетон — вещество, интенсивно используемое на различных производствах и в лабораториях в качестве органического сырья для синтеза, растворителя и компонента чистящих средств. Во всех этих случаях важно контролировать концентрацию ацетона вследствие его легкой воспламеняемости и высокой токсичности.

Максимально разовая ПДК рабочей зоны для ацетона составляет  $800~\text{мг/м}^3$  [ГН 2.2.5.3532-18 "Предельно допустимые концентрации (ПДК) вредных веществ в воздухе рабочей зоны"].

Воздействие высоких концентраций ацетона порядка 1000 млн долей вызывает раздражение носа и горла, провоцирует головную боль, тошноту, рвоту, вызывает чувство сонливости, может привести к повреждениям нервных тканей и почек [20, 21].

В связи с этим необходима разработка катализаторов, способных эффективно проводить процесс окисления летучих органических соединений. Анализ литературы показывает, что к настоящему времени отсутствуют работы, сравнивающие влияние галогенид анионов на фотокаталитическую активность  $TiO_2$  в газофазных реакциях, в том числе в реакции окисления ацетона.

Цель работы — получение *in situ* в процессе фотоокисления ацетона под действием УФ-излучения фотокатализаторов  $Ag/TiO_2$  и исследование влияния галогенид-анионов в предшественнике серебра на их фотокаталитическую активность. Отметим, что такие фотокатализаторы имеют потенциал применения в реакции фотокаталитического восстановления углекислого газа в ценные химические продукты [22].

#### ЭКСПЕРИМЕНТАЛЬНАЯ ЧАСТЬ

Для получения катализаторов использовали следующие реактивы:  $TiO_2$  Hombikat UV100 Sachtleben Chemie GmbH ( $S_{yx} = 310 \text{ м}^2/\text{г}$ ), нитрат серебра (ч.д.а., OOO "AO Peaxum"), 25% водный раствор аммиака (ч.д.а., OOO ТД "Химмед"), хлорид аммония (ч., OOO "AO Peaxum"), бромид аммония (х.ч., OOO "AO Peaxum"), иодид аммония (х.ч., OOO "AO Peaxum"), дистиллированная вода ГОСТ 6709-72.

# Синтез фотокатализаторов Ag/TiO<sub>2</sub>

К заданному количеству  $AgNO_3$  и соли аммония ( $NH_4Hal$ ) добавляли 2.75 М водный раствор аммиака до растворения осадка с образованием соответствующего комплекса [ $Ag(NH_3)_2$ ] Hal и достижения рН 10 при непрерывном перемешивании на магнитной мешалке. рН суспензии контролировали с помощью рН-метра И-160МИ. Полученным 0.03 М раствором комплекса пропитывали по влагоемкости навеску  $TiO_2$  и наносили на поверхность стеклянной чашки Петри диаметром 70 мм; расчетная концентрация серебра в образце составляла 0.1 ат.%. После чего катализатор высушивали на воздухе.

Эксперименты по фотоокислению проводили в камере, снабженной источником с 12 УФ-светодиодами, электрической мошностью 3 Вт каждый, с максимумом излучения на длине волны 365 нм. Расстояние между источником и поверхностью фотокатализатора составляло 25 мм. Скорость потока газа контролировалась с помощью газового расходомера и составляла 0.5 л/мин. Принципиальная схема установки представлена на схеме (рис. 1). Определение концентрации ацетона и СО<sub>2</sub> в воздухе в процессе фотокаталитического окисления проводили по интегрированию характеристических полос соединений в ИК-спектрах в ходе фотокаталитической реакции. Для ацетона в пределах 1165-1256 см $^{-1}$ , для CO<sub>2</sub>-2281-2399 см $^{-1}$ . Измерение проводили при помощи ИК-Фурье спектрометра ФТ-801 под управлением ПО ZaIR3.5 (OOO НПФ "СИМЕКС"). Рассчитывали относительную концентрацию (млн д.) используя коэффициент экстинкции в единицах (млн д. $^{-1}$  см $^{-2}$ ) [23]. Длина оптического пути составляла 18 см. Для снижения влияния атмосферного СО2 ИК-спектрометр был помещен в герметичный бокс. Эффективность фотокаталитического окисления (Ф) рассчитывали по следующей формуле:

$$\Phi$$
 (моль мин $^{-1}$   $B$ т $^{-1}$ ) =  $\frac{C_{\rm CO_2} \cdot \upsilon}{P}$ ,

где  $C_{{\rm CO}_2}$  — максимальная концентрация образующегося  ${\rm CO}_2$ ,  $\upsilon$  — скорость потока газа, P — мощность излучения.

Для анализа фазового состава катализаторов Ag/TiO<sub>2</sub>/Hal использовали рентгенофазовый анализ (РФА). Дифрактограммы регистрировали в диапазоне 20 10°—80° с шагом 0.02 со скоростью 1°/мин на приборе Rigaku Rotaflex D/MAX-RC (Rigaku, Япония). Фазовый состав определяли с использованием справочной базы данных порошковых дифрактограмм ICDD PDF-2.

Исслелование поверхности катализаторов методом РФЭС проводили на спектрометре PREVAC EA15 оснащенном полусферическим анализатором высокого разрешения. Для возбуждения спектров использовали характеристическое немонохроматизированное рентгеновское излучение Al $K_{\alpha}$  (hv = 1486.6 эВ, 150 Вт). Давление остаточных газов в ходе измерения не 5×10<sup>-9</sup> мбар. Шкала энергий связи ( $\bar{E}_{cr}$ ) была предварительно откалибрована по положению фотоэлектронных линий остовных уровней золота  $(Au4f7/2 - 84.0 \ni B)$ , cepe6pa  $(Ag3d5/2 - 368.3 \ni B)$ . Эффект зарядки, возникающий в процессе фотоэмиссии электронов, учитывали, используя в качестве внутреннего стандарта положение линии C1s ( $E_{cr}$ = 284.8 эВ) атомов углерода, входящих в состав поверхностных примесей. Деконволюцию спектров проводили с использованием программного обеспечения CasaXPS с учетом параметров фона, рассчитанных по алгоритму Ширли.

Измерения удельной поверхности порошков Ag/TiO<sub>2</sub>/Hal проводили методом низкотемпературной адсорбции азота с использованием анализатора Катакон ATX-06. Парциальное давление азота определяли с использованием катарометра. Площадь удельной поверхности образцов рассчитывали с использованием модели Брунауэра—Эммета—Теллера по 5 точкам. Перед измерениями образцы массой 100 мг дегазировали при температуре 200°С в токе гелия в течение 60 минут.

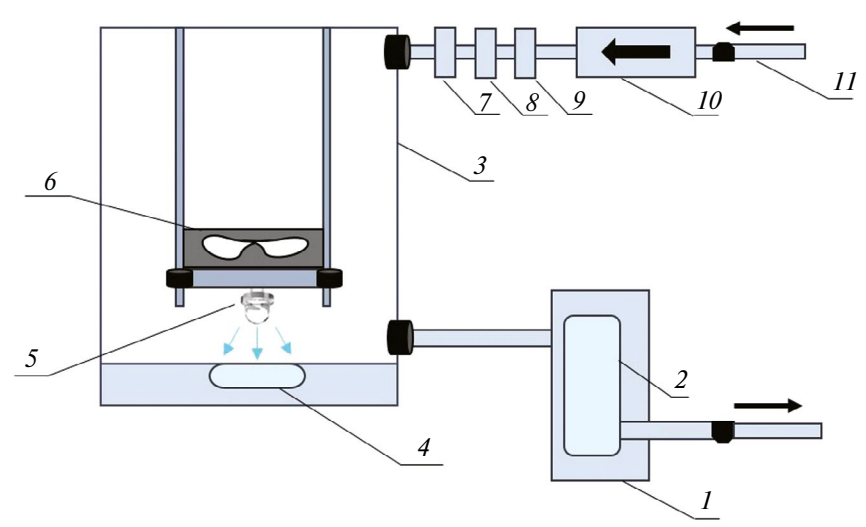
Морфологию полученных катализаторов методом растровой электронной микроскопии исследовали с помощью микроскопа Carl Zeiss NVision 40, оснащенного анализатором X-Max Oxford Instruments ( $80 \text{ мм}^2$ ).

## РЕЗУЛЬТАТЫ И ИХ ОБСУЖДЕНИЕ

Единственно детектируемыми в газовой фазе продуктами реакции фотоокисления ацетона являются углекислый газ и вода (уравнение 1) [24].

$$CH_3COCH_3 + 4O_2 \xrightarrow{hv, TiO_2} 3CO_2 + 3H_2O.$$
 (1)

Известно, что влажность может изменять скорость фотокаталитической реакции [25], как уменьшая, так и увеличивая ее в зависимости от исходного разлагаемого соединения. Поэто-



**Рис. 1.** Схема стенда для измерения фотокаталитической активности: 1— ИК-Фурье спектрометр, 2— газовая кювета, 3— фотореактор, 4— фотокатализатор, 5— УФ-светодиод, 6— вентилятор, 7— раствор хлорида лития, 8— раствор NaOH <sub>конц</sub>, 9— угольный фильтр, 10— насос, 11— вход воздуха.

му в экспериментах влажность контролировали пропусканием газовой смеси через насыщенный раствор хлорида лития.

Исследование каталитической активности показало, что при окислении при УФ-воздействии концентрация получаемого углекислого газа составляет от 2000 млн долей для образца Ag/TiO<sub>2</sub>/F (рис. 2а). Данный положительный эффект в первую очередь может быть связан как с образованием наноразмерных частиц серебра, так и изменением сорбционных свойств вследствие наличия на поверхности связей Ti—Hal. Так, фторид анион способствует сорбции молекул воды на поверхности диоксиде титана [26], окисляющейся, в свою очередь, на ней с образованием —OH, который уже участвует в окислении ацетона.

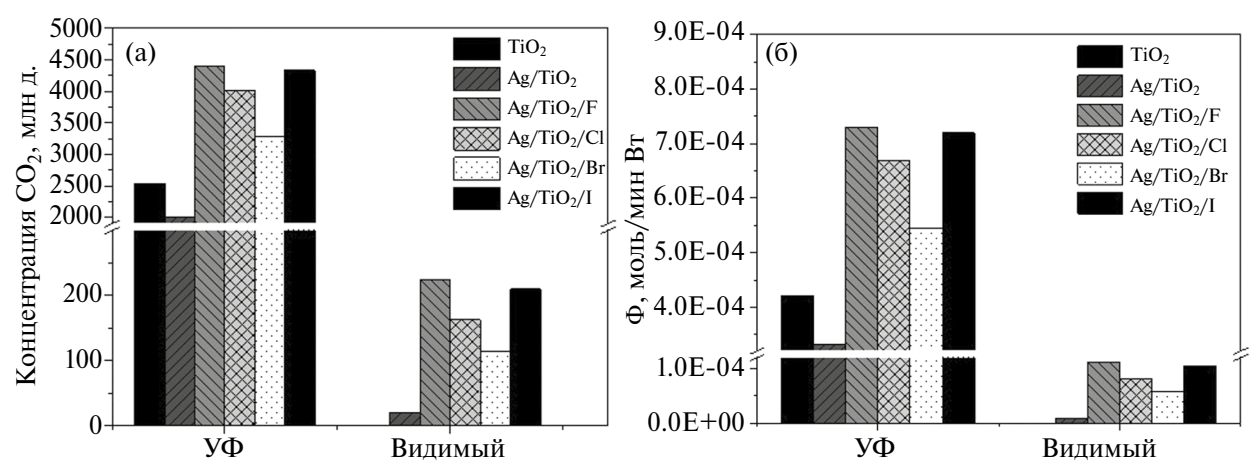
Изменение источника излучения с УФ на видимый свет (4 светодиода с длиной волны 470 нм по 3 Вт каждый) приводит к уменьшению каталитической активности. Для образца без серебра и катализатора, полученного из нитрата серебра, в видимом свете активности не наблюдалось вовсе, в то время как образцы Ag/TiO<sub>2</sub>/Hal демонстрируют схожую зависимость, и при УФ-окислении. Максимальное значение концентрации углекислого газа составило 224 и 210 млн долей для образцов Ag/TiO<sub>2</sub>/F и Ад/ТіО<sub>2</sub>/І соответственно. Для образца, полученного из иодидного комплекса, это может быть обусловлено обратимым переходом иодид аниона на поверхности диоксида титана в иодат анион с увеличением каталитической активности [27].

**Таблица 1.** Содержание Ag в образцах фотокатализаторов и рассчитанное значение ширины запрещенной зоны

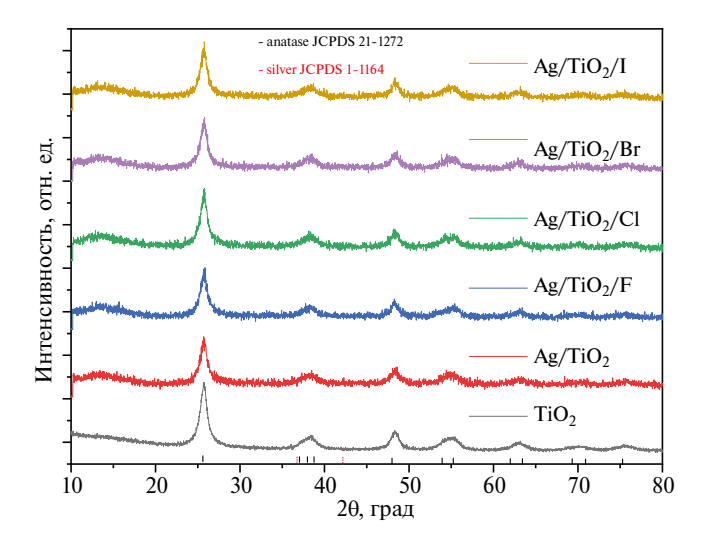
	Содержание Ад, ат.%	$E_{ m g}$ , эВ
TiO <sub>2</sub>	_	3.21
Ag/TiO <sub>2</sub>	0.13±0.02	2.99
Ag/TiO <sub>2</sub> /F	0.11±0.02	3.03
Ag/TiO <sub>2</sub> /Cl	$0.09\pm0.01$	3.08
Ag/TiO <sub>2</sub> /Br	0.08±0.01	3.14
Ag/TiO <sub>2</sub> /I	0.10±0.02	3.11

При увеличении содержания серебра в катализаторе с 0.1 до 0.5 ат.% активность (в УФокислении ацетона) для образца  $Ag/TiO_2$  падает с 2000 млн долей (выход  $CO_2$ ) до 1105 млн долей, при дальнейшем увеличении серебра до 2.5 ат.% до 191 млн долей.

При изучении фазового состава полученных катализаторов наблюдались рефлексы диоксида титана со структурой анатаза (JCPDS No. 21–1272), анализ которых определил размер частиц TiO<sub>2</sub> как ~8 нм (рис. 3). В свою очередь рефлексов от кристаллического серебра обнаружено не было, так как количество Ag (~0.1 ат.% по данным PCMA, табл. 1) недостаточно для идентификации металла данным методом. Площадь удельной поверхности всех полученных катализаторов составила ~300 м²/г. Спектроскопия диффузного отражения показывает небольшой сдвиг края полосы поглощения в видимую область спектра по отношению к образцу сравнения.



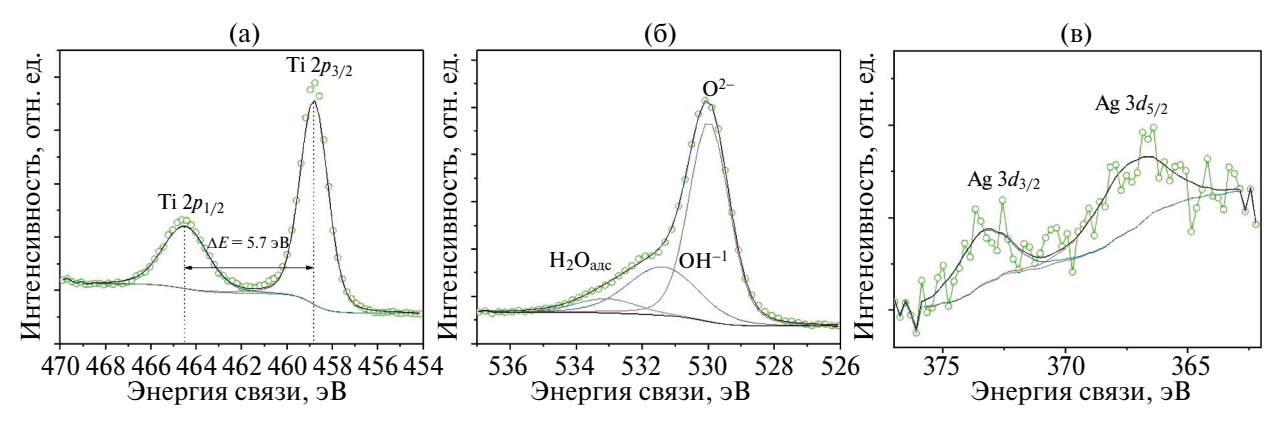
**Рис. 2.** Зависимость концентрации образуемого  $CO_2$  (а) и эффективности фотокаталитического окисления (б) от используемого катализатора и условий облучения.



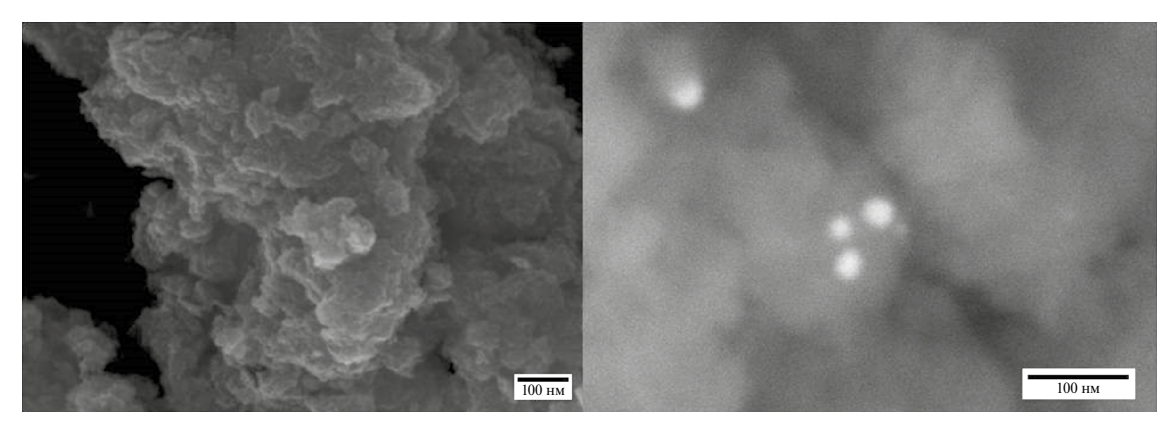
0.6 Ag/TiO<sub>2</sub>/F Поглощение, отн. ед. 0.7 Ag/TiO2/Cl  $(\mathbf{P}(\mathbf{R}^{\infty})\hbar\mathbf{v})^{1/2}$ Ag/TiO<sub>2</sub>/I Ag/TiO<sub>2</sub>/Br TiO<sub>2</sub> 3.0 hv, eV 2.6 2.8 3.4 0 350 400 450 500 550 600 Длина волны, нм

**Рис. 3.** Рентгенограммы полученных *in situ*  $Ag/TiO_2$ -катализаторов в реакции фотоокисления ацетона в присутствии различных аммиачных комплексов серебра и образца сравнения Hombikat UV100.

**Рис. 4.** Спектр поглощения и перестроенные спектры в координатах Тауца полученных *in situ*  $Ag/TiO_2$  и образца сравнения Hombikat UV100.



**Рис. 5.** РФЭС спектры:  $(a) - \text{Ti}_2 p$ , (b) - O1s,  $(s) - \text{Ag}_3 d$ , полученного *in situ* катализатора Ag/TiO<sub>2</sub>/F в реакции фотокаталитического окисления ацетона.



**Рис. 6.** Микрофотографии, полученные с использованием РЭМ, сформированного *in situ* Ag/TiO<sub>2</sub>/F-катализатора в присутствии хинолина в реакции фотокаталитического окисления ацетона.

**Таблица 2.** Состав поверхности полученного *in situ* Ag/ $TiO_2/F$ -фотокатализатора

Элемент		Ag/TiO <sub>2</sub> /F			
		энергия связи, эВ	доля,%	доля, ат.%	
	$2p_{3/2}$	458.8 (TiO <sub>2</sub> )	73.87	100	
	$2p_{1/2}$	464.5 (TiO <sub>2</sub> )			
О	1 <i>s</i>	530.3 (Ti-O)	26.06	65.2	
	1 <i>s</i>	531.7 (Ti-OH)		27.7	
	1 <i>s</i>	533.4(H <sub>2</sub> O адс)		7.1	
Ag	3d <sub>5/2</sub>	367.9 (Ag(0) [29]	0.07	100	
	3d <sub>3/2</sub>	373.9 (Ag(0) [29]			

По данным РСМА, содержание серебра составляло порядка 0.1 ат.%. Ширина запрещенной зоны составляет от 2.99 до 3.21 эВ для образца диоксида титана без серебра.

В табл. 2 представлен состав поверхности катализатора Ag/TiO<sub>2</sub>/F, концентрация атомов О, Ті и Ад составляет 73.87, 26.06, 0.07 ат.% соответственно. После аппроксимации спектров, можно заметить, что Ті находится в одном состоянии, отвечающем Ti(IV) в TiO<sub>2</sub> [28]. После аппроксимации спектра O1s можно утверждать, что атомы кислорода, в свою очередь, находятся в трех состояниях: О-Ті, О-Н, О-Н (из Н<sub>2</sub>О, адсорбированной на поверхности диоксида титана). Для спектра углерода можно наблюдать состояние в виде  $CO_2$  или  $CO_3^{2-}$ , что напрямую связано с сорбцией продуктов фотоокисления ацетона на поверхности катализаторов. Согласно результатам РФЭС атомов галогенов на поверхности обнаружено не было (рис. 5). Указанные в табл. 2 значения энергии связи для Ti2p, O1s и Ag3d в их состояниях согласуются с литературными данными.

На микрофотографиях (рис. 6) полученного Ag/TiO<sub>2</sub>/F-катализатора методом РЭМ, видны агрегаты из наночастиц диоксида титана размером от 2 до 10 мкм, сформированные из наночастиц размером ~8 нм. На микрофотографии справа в режиме фазового контраста отлично видны наночастицы серебра, которые не были обнаружены с помощью рентгенофазового анализа. Данные катализатора элементного анализа подтверждают наличие серебра в количестве ~0.1 ат.%, в то время как атомы галогенов обнаружены не были.

#### **ЗАКЛЮЧЕНИЕ**

В ходе исследования были in situ получены катализаторы Ад/ТіО2 из аммиачного комплекса серебра с различными анионами. Методом РФЭС выявлено, что при данном способе получения Ад (0.1 ат.%) серебро находится в металлическом состоянии. В реакции фотоокисления ацетона наибольшей активностью обладает катализатор, полученный в присутствии фторид- и иодид- анионов. Показано, что полученные катализаторы также обладают активностью при воздействии видимого света. Таким образом, метод *in situ* получения фотокатализаторов состава Ag/TiO<sub>2</sub> является перспективным для создания проточных фотокаталитических установок по окислению летучих органических соединений.

## БЛАГОДАРНОСТИ

Работа выполнена с использованием оборудования ЦКП "Аналитический центр проблем глубокой переработки нефти и нефтехимии" ИНХС РАН. Авторы выражают благодарность ЦКП ФМИ ИОНХ РАН за содействие в проведении исследований свойств катализаторов методом растровой электронной микроскопии. Аттестация синтезированных образцов гетерогенных катализаторов выполнена при финансовой поддержке Минобрнауки России (Соглашение № 075-15-2021-1363).

### ФИНАНСИРОВАНИЕ

Исследования проводились в рамках проекта РНФ № 23-23-00662.

#### КОНФЛИКТ ИНТЕРЕСОВ

Авторы заявляют об отсутствии конфликта интересов, требующего раскрытия в данной статье.

# ИНФОРМАЦИЯ ОБ АВТОРАХ

*Садовников Алексей Александрович*, ORCID: https://orcid.org/0000-0002-3574-0039

*Новоселова Кристина Николаевна*, ORCID: https://orcid.org/0009-0006-4139-1476

*Судьин Владислав Витальевич*, к.ф.-м.н., ORCID: https://orcid.org/0000-0001-9091-855X

*Наранов Евгений Русланович*, к.х.н., ORCID: https://orcid.org/0000-0002-3815-9565

## СПИСОК ЛИТЕРАТУРЫ

- 1. *Nakata K., Fujishima A.* TiO<sub>2</sub> photocatalysis: Design and applications. // J. of Photochemistry and Photobiology C: Photochemistry Reviews. 2012. V. 13. № 3. P. 169–189. https://doi.org/10.1016/j.jphotochemrev.2012.06.001
- Regan B. O., Grätzel M. A low-cost, high-efficiency solar cell based on dye-sensitized colloidal TiO<sub>2</sub> films // Nature. 1991. V. 353. № 6346. P. 737—740.

https://doi.org/10.1038/353737a0

- 3. Abdullah M., Low G. K.C., Matthews R.W. Effects of common inorganic anions on rates of photocatalytic oxidation of organic carbon over illuminated titanium // J. Phys. Chem. 1990. V. 94. P. 6820–6825. https://doi.org/10.1021/j100380a051
- 4. *Ivanov V.K., Maksimov V.D., Shaporev A.S., Baranchikov A. E., Churagulov B. P., Zvereva I. A., Tret'yakov Yu. D.* Hydrothermal synthesis of efficient TiO<sub>2</sub>-based photocatalysts // Russ. J. Inorg. Chem. 2010. V. 55. № 2. P. 150–154. https://doi.org/10.1134/S0036023610020026
- Sadovnikov A.A., Baranchikov A.E., Zubavichus Y.V., Ivanova O.S., Murzin V.Y., Kozik V.V., Ivanov V.K. Photocatalytically active fluorinated nano-titania synthesized by microwave-assisted hydrothermal treatment // J. of Photochemistry and Photobiology A: Chemistry. 2015. V. 303–304. P. 36–43. https://doi.org/10.1016/j.iphotochem.2015.01.010
- Sadovnikov A.A., Naranov E.R., Maksimov A.L., Baranchikov A.E., Ivanov V.K. Photocatalytic activity of fluorinated titanium dioxide in ozone decomposition // Russ J Appl Chem. 2022. V. 95. № 1. P. 118–125. https://doi.org/10.1134/S1070427222010153
- 7. Yang H., Sun C., Qiao S. et al. Anatase TiO<sub>2</sub> single crystals with a large percentage of reactive facets // Nature. 2008. V. 453. № 7195. P. 638–641. https://doi.org/10.1038/nature06964
- Henderson M.A. A surface science perspective on TiO<sub>2</sub> photocatalysis. // Surface Science Reports. 2011. V. 66.
   № 6. P. 185–297. https://doi.org/10.1016/j.surfrep.2011.01.001
- 9. Yu W., Liu X., Pan L., Li J., Liu J., Zhang J., Li P., Chen C., Sun Z. Enhanced visible light photocatalytic degradation of methylene blue by F-doped TiO<sub>2</sub> // Applied Surface Science. 2014. V. 319. P. 107–112. https://doi.org/10.1016/j.apsusc.2014.07.038
- 10. Díaz-Sánchez M., Reñones P., Mena-Palomo I., López-Collazo E., Fresno F., Oropeza F.E., Prashar S., de la Peña O'Shea V.A., Gómez-Ruiz S. Ionic liquid-assisted synthesis of F-doped titanium dioxide nanomaterials with high surface area for multi-functional catalytic and photocatalytic applications // Applied Catalysis A: General. 2021. V. 613. ID118029. https://doi.org/10.1016/j.apcata.2021.118029

- Schneider J., Matsuoka M., Takeuchi M., Zhang J., Horiuchi Y., Anpo M., Bahnemann D. W. Understanding TiO<sub>2</sub> photocatalysis: mechanisms and materials // Chem. Rev. 2014. V. 114. № 19. P. 9919–9986. https://doi.org/10.1021/cr5001892
- 12. Lv K., Guo X., Wu X., Li Q., Ho W., Li M., Ye H., Du D. Photocatalytic selective oxidation of phenol to produce dihydroxybenzenes in a TiO<sub>2</sub>/UV system: Hydroxyl radical versus hole // Applied Catalysis B: Environmental. 2016. V. 199. P. 405–411. https://doi.org/10.1016/j.apcatb.2016.06.049
- 13. *Yuan R., Chen T., Fei E., Lin J., Ding Z., Long J., Zhang Z., Fu X., Liu P., Wu L., Wang X.* Surface chlorination of TiO<sub>2</sub>-based photocatalysts: A Way to remarkably improve photocatalytic activity in both UV and visible region // ACS Catal. 2011. V. 1. № 3. P. 200–206. https://doi.org/10.1021/cs100122v
- 14. Luo H., Takata T., Lee Y., Zhao J., Domen K., Yan X. Photocatalytic activity enhancing for titanium dioxide by co-doping with bromine and chlorine // Chem. Mater. 2004. V. 16. № 5. P. 846–849. https://doi.org/10.1021/cm035090w
- 15. *Lee W., Shen H.-S., Dwight K., Wold A.* Effect of Silver on the Photocatalytic Activity of TiO<sub>2</sub> // J. of Solid State Chemistry. 1993. V. 106. № 2. P. 288–294. https://doi.org/10.1006/jssc.1993.1288
- Sanzone G., Zimbone M., Cacciato G., Ruffino F., Carles R., Privitera V., Grimaldi M. G. Ag/TiO<sub>2</sub> nanocomposite for visible light-driven photocatalysis. // Superlattices and Microstructures. 2018. V. 123. P. 394–402. https://doi.org/10.1016/j.spmi.2018.09.028
- 17. *Lee M. S., Hong S.-S., Mohseni M.* Synthesis of photocatalytic nanosized TiO<sub>2</sub>—Ag particles with sol—gel method using reduction agent // J. of Molecular Catalysis A: Chemical. 2005. V. 242. № 1. P. 135—140. https://doi.org/10.1016/j.molcata.2005.07.038
- 18. *Arabatzis I. M., Stergiopoulos T., Bernard M. C., Labou D., Neophytides S. G., Falaras P.* Silver-modified titanium dioxide thin films for efficient photodegradation of methyl orange // Applied Catalysis B: Environmental. 2003. V. 42. № 2. P. 187–201. https://doi.org/10.1016/S0926-3373(02)00233-3
- 19. *Li C.-H.*, *Hsieh Y.-H.*, *Chiu W.-T.*, *Liu C.-C.*, *Kao C.-L.*Study on preparation and photocatalytic performance of Ag/TiO<sub>2</sub> and Pt/TiO<sub>2</sub> photocatalysts // Separation and Purification Technology. 2007. V. 58. № 1. P. 148–151.
  https://doi.org/10.1016/j.seppur.2007.07.013
- 20. *Williams J., Koppmann R.* Volatile Organic Compounds in the Atmosphere // Wiley Online Books. 2007. P. 1–32. https://doi.org/10.1002/9780470988657.ch1
- 21. Sun L., Yao Z., Haidry A.A., Li Z., Fatima Q., Xie L. Facile one-step synthesis of TiO<sub>2</sub> microrods surface

- modified with  $Cr_2O_3$  nanoparticles for acetone sensor applications // J. Mater Sci: Mater Electron. 2018. V. 29. No 17. P. 14546–14556. https://doi.org/10.1007/s10854-018-9589-8
- 22. Yu B., Zhou Y., Li P., Tu W., Li P., Tang L., Ye J., Zou Z. Photocatalytic reduction of CO<sub>2</sub> over Ag/TiO<sub>2</sub> nanocomposites prepared with a simple and rapid silver mirror method // Nanoscale. 2016. V. 8. № 23. P. 11870–11874. https://doi.org/10.1039/C6NR02547A
- 23. *Selishchev D.S.*, *Kolinko P.A.*, *Kozlov D.V.* Influence of adsorption on the photocatalytic properties of TiO<sub>2</sub>/AC composite materials in the acetone and cyclohexane vapor photooxidation reactions // J. of Photochemistry and Photobiology A: Chemistry. 2012. V. 229. № 1. P. 11–19. https://doi.org/10.1016/j.jphotochem.2011.12.006
- 24. Bianchi C.L., Gatto S., Pirola C., Naldoni A., Di Michele A., Cerrato G., Crocellà V., Capucci V. Photocatalytic degradation of acetone, acetaldehyde and toluene in gas-phase: Comparison between nano and micro-sized TiO<sub>2</sub> // Applied Catalysis B: Environmental. 2014. V. 146. P. 123–130. https://doi.org/10.1016/j.apcatb.2013.02.047
- 25. *Choi W., Ko J.Y., Park H., Chung J.S.* Investigation on TiO<sub>2</sub>-coated optical fibers for gas-phase photocatalytic

- oxidation of acetone // Applied Catalysis B: Environmental. 2001. V. 31. № 3. P. 209–220. https://doi.org/10.1016/S0926-3373(00)00281-2
- 26. Barsukov D.V., Saprykin A.V., Subbotina I.R., Usachev N.Ya. Beneficial effect of TiO<sub>2</sub> surface fluorination on the complete photooxidation of ethanol vapor // Mendeleev Communications. 2017. V. 27. № 3. P. 248–250. https://doi.org/10.1016/j.mencom.2017.05.010
- 27. Su W., Zhang Y., LiZ., Wu L., Wang X., Li J., Fu X. Multivalency iodine doped TiO<sub>2</sub>: preparation, characterization, theoretical studies, and visible-light photocatalysis // Langmuir. 2008. V. 24. № 7. P. 3422–3428. https://doi.org/10.1021/la701645y
- 28. *Yang L., Jiang X., Ruan W., Yang J., Zhao B., Xu W., Lombardi J. R.* Charge-transfer-induced surface-enhanced raman scattering on Ag—TiO<sub>2</sub> nanocomposites // J. Phys. Chem. C. 2009. V. 113. № 36. P. 16226–16231. https://doi.org/10.1021/jp903600r
- 29. Zhang J., Li Y., Zhang Y., Chen M., Wang L., Zhang C., He H. Effect of support on the activity of Ag-based catalysts for formaldehyde oxidation // Sci. Rep. 2015. V. 5. № 1. P. 12950. https://doi.org/10.1038/srep12950